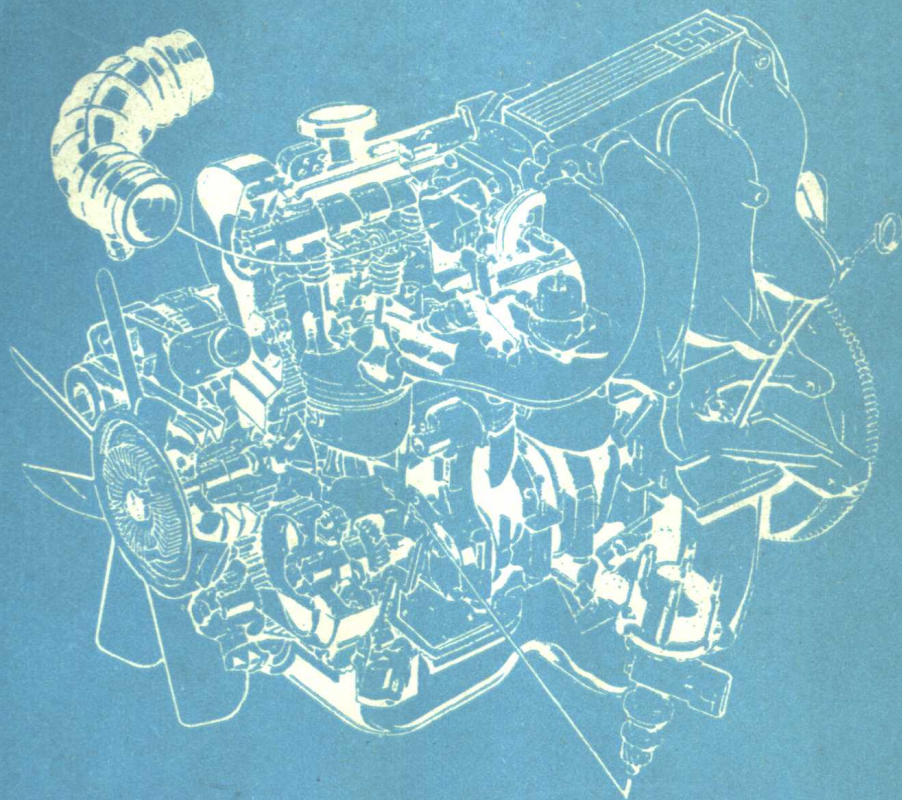


# 汽车发动机原理

清华大学 程 宏著



学术期刊出版社

# 汽车发动机原理

程 宏 著

学术期刊出版社

**汽车发动机原理**  
程 宏 著  
学术期刊出版社出版  
(北京海淀区学院南路86号)  
新华书店北京发行所发行  
北京昌平百慕印刷厂排版印刷  
787×1092毫米 16开本 10.25印张  
1988年3月第1版 1988年3月第1次印刷  
印数：0001—3000  
ISBN 7-80045-033-3/U·1  
定价：2.80元

## 前 言

一、在60与70年代，一方面由于大气污染和石油危机的压力，另一方面由于电子技术的应用，汽车发动机的技术迅速发展。汽车年产数千万辆，从事研究和发展工作的科技人员数量突出，在技术第二第三线以及理论方面，研究与探索的工作繁多，牵涉学科甚广，并形成一些专门化学术领域。在闭关自守并经过“文革”之后，突然处于这种复杂情况之下，需要全面有所认识，才能判断我们急应致力的方向。

二、在教学中也应当考虑到这种情况。虽然针对专门化领域可以设专门课程或读专著，但一个人难以全面选读，况且产品发展中的问题大多并没有到形成学术体系的程度，也没有专著。因此若能以尽可能少的内容，而可了解近期发展有关的基本概念，将有助于提高判断方向的能力，并提供在需要时自行深入的基础。

三、汽车发动机的这种情况，不能要求内燃机专业统编教材解决。此外发动机性能是多方面情况的综合表现，在没有对各方面之间互相关系有所认识之前，对于单项问题的深入难以真正理解。因此在“文革”后重新招生时，清华大学汽车系内燃机专业的内燃机原理课程学时及内容没有增加，应用汽车专业的统编内燃机原理教材，再以此为基础增加汽车发动机原理的内容。

四、为了在尽可能少的学时内达到上述目的，决定以当前产品发展问题为纲，从恢复招生开始即进行准备，由1982年起，用挂图和记笔记的方式试行教学。在浩瀚的资料中选材、提炼和编排，颇费斟酌。对于一些探索方向的提法要恰如其份，更费心思。况且情况在不断变化，自己的认识也在逐渐深入，因而逐年的讲课内容都有所变动。目前似乎基本上可以暂时稳定，可以成文以利学习。全部讲课原为32小时（40学时），有教材后，讲课时间可更减少。

五、在编写中，偏重与产品发展直接有关的基本概念，而且使文字尽可能精简，以便于掌握要点和统观全局。有不为才能有所为，因而不重复内燃机原理教材已有内容，不牵涉与产品发展关系甚远的理论，不详述具体结构细节，不求面面俱到，更不考虑作为参考资料。

六、附自习选编文献，可有助于巩固正文所述概念，扩大理解范围和深度，并有益于提高工作能力。早有此想法并有所准备，但一直未能实施。现设想可以实现，却由于技术发展迅速，原选文献已不甚适宜。改选的文献数量较大，为减小篇幅，大部分改为文摘，这样也有益于突出所需重点。

七、组织这样的教材和这种编写办法，是为了适应我国当前特殊形势的需要，是一种新的尝试，希得到各方面的指教。

八、感谢中国汽车工程学会对本书编写的鼓励和对出版的支持。

# 目 录

## 前言

<b>第一章</b>	<b>工作循环</b>	( 1 )
第一节	概述	( 1 )
第二节	气体的热力性质和反应温度	( 2 )
第三节	燃料空气循环	( 4 )
第四节	循环模拟	( 11 )
<b>第二章</b>	<b>汽车的使用油耗</b>	( 14 )
第一节	概述	( 14 )
第二节	降低最低比油耗的探索	( 16 )
第三节	降低常用工况油耗的探索	( 21 )
第四节	产品发展	( 22 )
<b>第三章</b>	<b>车用直喷式柴油机的 燃烧系统</b>	( 25 )
第一节	概述	( 25 )
第二节	燃烧系的配合	( 26 )
第三节	喷油	( 26 )
第四节	空气运动	( 28 )
第五节	混合气形成	( 29 )
<b>第四章</b>	<b>大气污染</b>	( 32 )
第一节	概述	( 32 )
第二节	黑烟	( 33 )
第三节	排放CO、HC、NO <sub>x</sub>	( 35 )
第四节	汽车的排放	( 38 )
第五节	排放测定	( 40 )
第六节	工程问题研究举例	( 41 )
<b>第五章</b>	<b>燃料和润滑油</b>	( 43 )
第一节	车用燃料概况	( 43 )
第二节	汽油	( 44 )
第三节	轻柴油	( 47 )
第四节	醇类	( 48 )
第五节	润滑油	( 48 )
<b>文摘</b>		
文摘一	CAD用于配气系 ( SAE790277)	( 52 )

文摘二	CAD用于歧管 ( MTZ1978, 12)	( 56 )
文摘三	CAD用于燃烧系 ( FISITA865012 )	( 63 )
文摘四	车用柴油机发展现状 ( FISITA865009 )	( 69 )
文摘五	( 1 ) 绝热发动机 ( SAE840431 )	( 72 )
	( 2 ) 低散热发动机 ( SAE860317 )	( 76 )
文摘六	循环不匀问题 ( MTZ1978, 7/8 )	( 79 )
文摘七	汽油喷射(AE1984, 2/3)	( 81 )
文摘八	直喷汽油机 ( FISITA865004 )	( 84 )
文摘九	在缩口燃烧室中的空气运动 ( FISITA865008 )	( 88 )
文摘十	小缸径轿车直喷式柴油机 ( FISITA 865014 )	( 92 )
文摘十一	柴油机的排放 ( FISITA865010 )	( 98 )
文摘十二	M15的应用 ( MTZ1981, 4 )	( 100 )
文摘十三	M100的应用 ( MTZ1982, 3 )	( 104 )
文摘十四	润滑油品级 ( 汽车学会1983年会论文 )	( 107 )
<b>文选</b>		
文选一	稀混合气高压缩比汽油机 ( FISITA 865034 )	( 109 )
文选二	动力系统综合控制 ( FISITA865028 )	( 119 )
文选三	HC排放 ( 1962 SAE Paper No. 486B )	( 131 )

# 第一章 工作循环

## 第一节 概述

一、实际循环 (Actual Cycle) 循环情况决定性能。

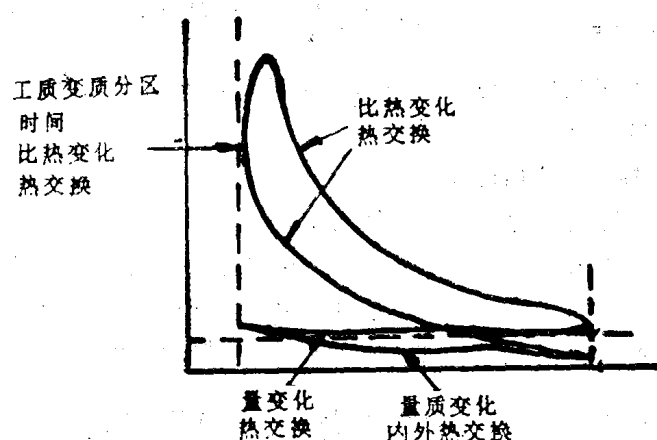


图1-1 循环情况

可分为两大部分：

- (1) 换气过程——性能好的前提。
- (2) 缸内过程——定换气情况下决定循环好坏。

研究时必须抽象，办法不同即形成不同理论循环 (Theoretical Cycle)，可无限多，但基本可分为三类。

二、空气标准循环 (Air Standard Cycle) 以等容加热说明。

假定前提是：

1. 忽略换气，只考虑缸内过程。
2. 作为封闭工质热力循环，等容加热及放热代表燃烧及排气。
3. 工质为空气，温度均匀，比热一定。
4. 压缩膨胀等熵。

计算是由a点状况、压缩比 $\varepsilon$ 及加热量 $q_1$ 出发。特点是简单，可用简单热力学分析而有助于判断方向，在历史上起过重大作用。应用时需切记前提，否则可作出错误结论，而且结论即使方向对，数量也不可能相符。

三、燃料空气循环 (Fuel Air Cycle) 或理想循环 (Ideal Cycle或Vollkommen Motor)

假定前提是：

1. 忽略换气，只考虑缸内过程。
2. 计入工质更换。

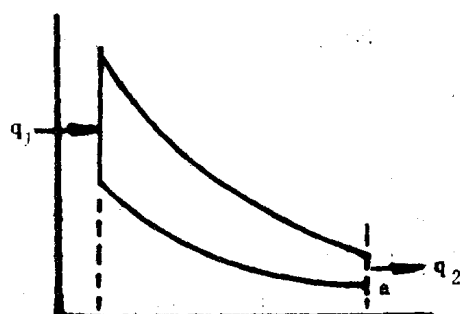


图1-2 空气标准循环

工质性质(组成及比热)和反应按实际计算,但组  
成及温度取为均匀的,反应按化学平衡计算。

### 3. 绝热而无热交换。

计算是由a点组成(包括过量空气系数 $\alpha$ )、状况及  
压缩比 $\varepsilon$ 出发。特点是已计入物质本性,而人为可改变的  
因素假定为理想状况。于是所得理想循环效率 $\eta_{id}$ ,可  
作为在出发条件下具体设计所能达到的极限,而相对效  
率 $\eta_{rel} = \frac{\eta_1}{\eta_{id}}$ 可表示具体设计的完善程度。理想循环还

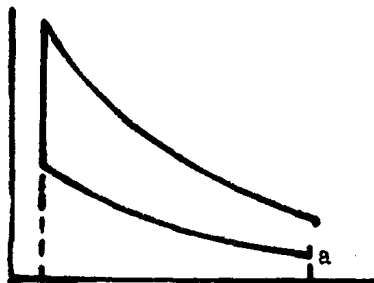


图1-3 燃料空气循环

有助于判断潜力的大小和问题的所在,有助于理解参数改变对性能在数量上的影响。但所需应用的热力学和计算比较复杂。

## 四、循环模拟(Cycle Simulation)

全面考虑换气过程和缸内过程,而且全面使计算符合实际。虽然必有简化,但力求可根据结构图纸预计性能(Performance Prediction),或结合经验而预计性能。应用循环模拟可以节省试制试验的成本及时间,可以深入掌握规律而利于改进,可以优化设计。循环模拟的计算复杂,需用计算机进行,因而是性能方面用计算机辅助设计(CAD)的重要手段。

## 第二节 气体的热力性质和反应温度

### 一、单一气体热力性质

1. 内燃机有关气体可作为远离临界状态,符合状态方程 $pV = R_{m,1}T$ 。

2. 计入比热变化及结构内能则

(1) 由第一定律 $dq = de + pdv$ ,

$$\text{对 } 1 \text{ kgmol} \quad C_V = \left( \frac{dq}{dT} \right)_V = \frac{de}{dT},$$

可以证明 $C_V$ 不因 $V$ 的不同而变化,所以 $C_V$ 和 $e$ 只是 $T$ 的函数,于是

$$e = \int_0^T C_V dT + e_0 = e(T) + e_0.$$

是否有内能为0的状态,物理学尚不明确。但计算定成分气体的状态变化时,无需 $e_0$ 值。对于变成分气体则可用相对基准,如取二原子气体 $e_0 = 0$ 。 $e(T)$ 可以测知,但其数值随所用基准温度而不同。

(2)  $h = e + pv = e + R_{m,1}T$ ,

于是 $h$ 只是 $T$ 的函数。

由于  $dh = de + pdv + vdp$ ,

所以  $dq = de + pdv = dh - vdp$ ,

而  $c_p = \left( \frac{dq}{dT} \right)_p = \frac{dh}{dT}$ ,

于是 $c_p$ 也只是 $T$ 的函数。

$$h = \int_0^T c_p dT + h_0 = h(T) + h_0.$$

以0°K为基准温度时,  $h_0 = e_0$ 。

3. 单一气体的 $c_v(T)$ 、 $c_p(T)$ 、 $e(T)$ 、 $h(T)$ 中, 知其一即可知其他, 于是气体热力性质资料中, 给出其中之一即可。例如 (Benson):

$$O_2 \text{ (J/kgmol)}: h(T) = 3,43328T - 8,18100 \times 10^{-6}T^2 + 9,66990 \times 10^{-8}T^3 - 1,4439 \times 10^{-11}T^4$$

$$h_0 = 0$$

$$H_2O: h(T) = 3,74T + 5,66 \times 10^{-4}T^2 + 4,95 \times 10^{-8}T^3 - 1,82 \times 10^{-11}T^4$$

$$h_0 = -2,39225 \times 10^8$$

## 二、混合气体热力性质

1. 符合状态方程 $PV = R_{m,1}T$ 及 $PV = MR_{m,1}T$ , 与组成成分无关。

2. 混合气体中成分i的莫尔百分数为 $x_i$ , 则 $\sum x_i = 1$ , 而混合气体的

$$e = \sum (x_i e_i(T)) + \sum (x_i e_{i0}) ,$$

$$h = \sum (x_i h_i(T)) + \sum (x_i h_{i0}) .$$

可见只是简单综合。熵 $s$ 不如是, 气体混合是非可逆过程。

## 三、反应热及热值

### 1. 定容反应热(氧弹)

由第一定律  $dq = de + pdv$

$$Q_V = E_p - E_R = (E_p(T_R) + E_{p0}) - (E_R(T_R) + E_{R0}) = M_p c_p(T_R) - M_R c_R(T_R) + \Delta E_0$$

2. 反应热随反应物及反应温度而不同。

在标准温度 $T_s$ 下反应热改正值为热值 $-Q_{Vs}$  (是高热值),

$$Q_{Vs} = (M_p c_p(T_R) + M_p c_{p0}) - (M_R c_R(T_s) + M_R c_{R0}) .$$

3. 以二原子气体 ( $e_0 = 0$ ) 试验可测定 $H_2O$ 等的 $e_0$ 值。



图1-4 定容反应热

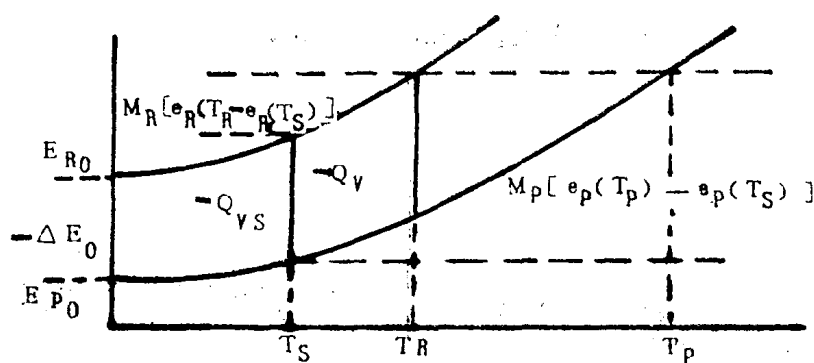


图1-5 定容反应图解

## 四、定容绝热反应温度

1. 由 $dq = de + pdv$ 可知反应中 $de = 0$ , 于是:

$$(M_p c_p(T_p) + M_p c_{p0}) - (M_R c_R(T_R) + M_R c_{R0}) = 0 .$$

据此可确定 $T_p$ 。

2. 可不用 $e_0$ 而用热值计算(应当用低热值)。

由 $Q_{Vs}$ 式知



图1-6 定容绝热反应

$$M_p c_{p0} - M_R c_{R0} = Q_{vs} - (M_p e_p(T_s) - M_R e_R(T_s))$$

于是  $M_p(c_p(T_p) - c_p(T_s)) - M_R(c_R(T_R) - c_R(T_s)) + Q_{vs} = 0$ 。

3. 简化计算用  $-Q_{vs} = M_p c_p(T_p) - M_R c_R(T_R)$ , 是有差别的。

4. 非定容非绝热的反应, 需计入  $dq$  及  $pdv$ 。

### 第三节 燃料空气循环

#### 一、柴油机的燃料空气循环

##### 1. 概况

假定缸内工质的成分及温度分布均匀(单区模型), 总过量空气系数  $\alpha$  大而不考虑高温分解, 且无热交换。

##### 2. 通用式

###### (1) 组成成分变化

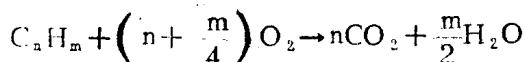
状态1 已知:  $b_1 \text{CO}_2 + b_2 \text{H}_2\text{O} + b_3 \text{O}_2 + b_4 \text{N}_2 + b_5 \text{C}_n \text{H}_m$ ,  
共  $M_1 \text{kgmol}$ ,  $E_1 = E_1(T_1) + E_{10}$ .

状态2 已知:  $V_2$ , 燃烧  $dM_f \text{ kgmol}$ 。

未知:  $a_1 \text{CO}_2 + a_2 \text{H}_2\text{O} + a_3 \text{O}_2 + a_4 \text{N}_2 + a_5 \text{C}_n \text{H}_m$ ,

共  $M_2 \text{ kgmol}$ ,  $E_2 = E_2(T_2) + E_{20}$ .

可求知: 按当量反应



$$dM_f \left(n + \frac{m}{4}\right) dM_t - ndM_t = \frac{m}{2} dM_t$$

于是据反应平衡得:

$$a_1 = b_1 + ndM_t$$

$$a_2 = b_2 + \frac{m}{2} dM_t$$

$$a_3 = b_3 - \left(n + \frac{m}{4}\right) dM_t$$

$$a_4 = b_4$$

$$a_5 = b_5 - dM_t$$

可解得  $a_1 \dots a_5$ , 知  $M_2$

又  $1 \text{kgmol}$  的反应结构内能变化为  $\Delta e_0$ , 则  $dM_f$  反应的变化为  $dM_f \Delta e_0$ , 于是知  $E_2 = E_2(T_2) + E_{20}$ .

###### (2) 能量式

$$\begin{aligned} dQ - dW &= dE \\ &= (E_2(T_2) + E_{20}) - (E_1(T_1) + E_{10}) \end{aligned}$$

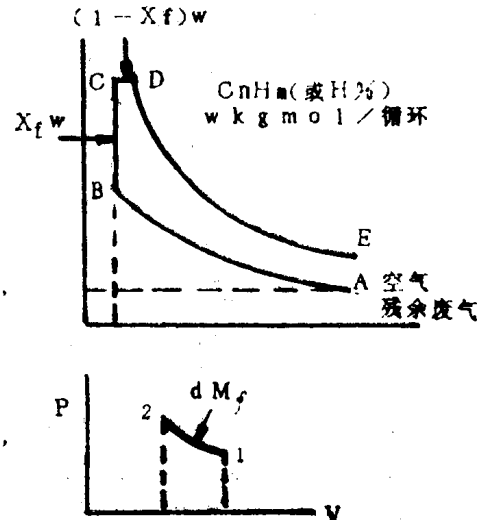


图1-7 柴油机的燃料空气循环

$$= E_2(T_2) - E_1(T_1) + dM_t \Delta c_0 \quad (1)$$

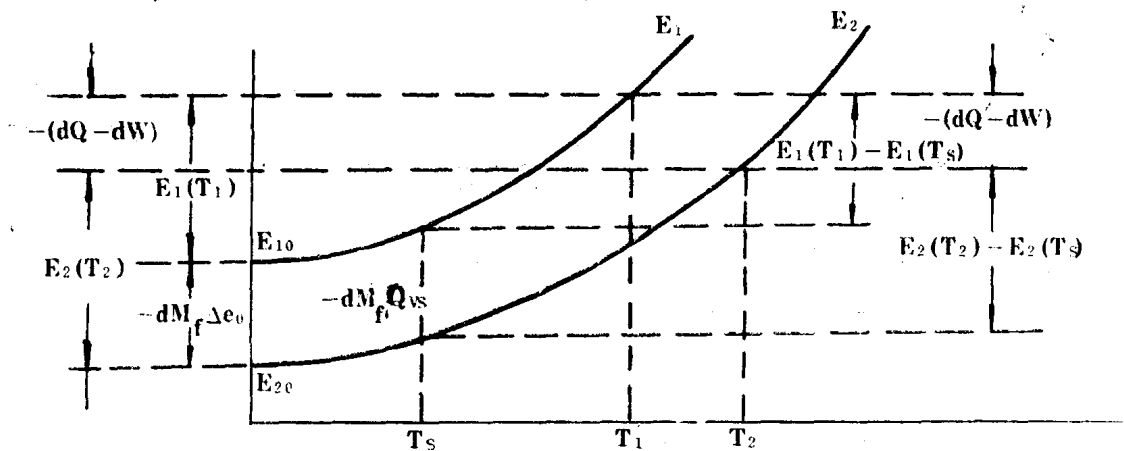


图1-8 一个步长的计算

若用热值计算，则

$$dM_f Q_{vs} = E_2(T_s) - E_1(T_s) + dM_f \Delta e_0$$

$$\text{因而 } dQ - dW = (E_2(T_2) - E_2(T_s)) - (E_1(T_1) - E_1(T_s)) + dM_f Q_{vs} \dots (1)'$$

### 3. 各过程计算

(1) 绝热压缩:  $dQ = 0$ , 成分不变, 于是式(1)或(1)'简化为

$$-dW = E_2(T_2) - E_1(T_1).$$

由A点起计算一个步长:

$$E_2(T_2) - E_A(T_A) + \frac{p_A + p_2}{2} (V_2 - V_A) = 0.$$

$$\frac{p_2 V_2}{T_2} = \frac{p_A V_A}{T_A},$$

可得  $T_2$ 、 $p_2$ 。逐点计算到B。

(2) 等容燃烧:  $dQ = 0$ ,  $dW = 0$ ,  $dM_t = x_f w$ , 于是由B可一步计算到C:

$$0 = E_C(T_C) - E_B(T_B) + x_f w \Delta c_0$$

$$\text{或 } 0 = (E_C(T_C) - E_C(T_s)) - (E_B(T_B) - E_B(T_s)) + x_f w Q_{vs}$$

可确定  $T_C$ , 再由状态式定  $p_C$ 。

(3) 等压燃烧:  $dQ = 0$ ,  $dW = p_C(V_D - V_C)$ ,  $dM_t = (1 - x_f) w$ , 于是由 C一步计算到D:

$$-p_C (V_D - V_C) = E_D(T_D) - E_C(T_C) + (1 - x_f) w \Delta c_0,$$

$$V_D = \frac{M_D}{M_C} \cdot \frac{T_D}{T_C} V_C,$$

可解得  $T_D$ 、 $V_D$ 。

(4) 绝热膨胀与压缩同, 逐点计算。

(5) 于是可计算循环功及  $\eta_{14}$ 。

## 二、汽油机的燃料空气循环

### 1. 概况

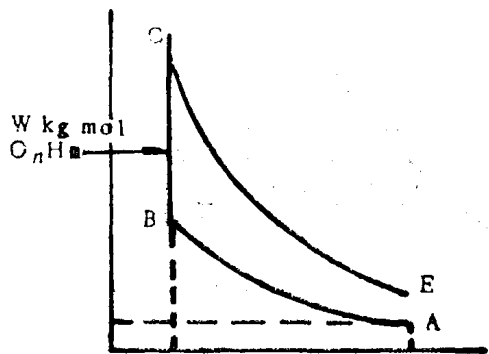
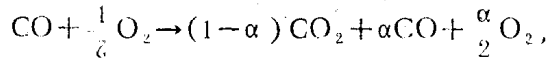


图1-9 汽油机的燃料空气循环  
可冷凝于高温生成的情况。

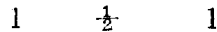
(2) 一种反应按温度处于平衡状况时，例如



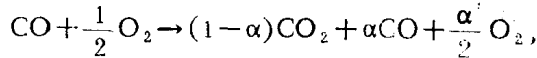
需知分解度 $\alpha$ ，才知成分组成和放出的化学能，才可能知温度。分解度可由平衡常数计算。

(3) 根据化学热力学，一个孤立系统内部成分可变时，当平衡于熵最大状况( $dS=0$ )。于是可以证明，在定T、p下，将平衡于Gibbs自由能 $G=H-TS$ 最小的情况( $dG=0$ )。据此可得平衡常数 $K_p$ ，其值可按反应物的热力性质计算(见R. S. Benson: Advanced Engineering Thermodynamics)。 $K_p$ 只是反应及T的函数。

(4) 如对于反应 $CO + \frac{1}{2} O_2 \rightleftharpoons CO_2$



已知某T下的 $K_p$ 值，将情况表示为：

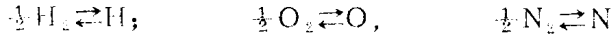


$$\text{总压力为} p, \text{ 则 } K_p = \frac{p_{CO_2}}{p_{CO} p_{O_2}^{\frac{1}{2}}} = \frac{1-\alpha}{\alpha} \sqrt{\frac{2+\alpha}{\alpha}} \sqrt{\frac{1}{p}}$$

于是可求知分解度 $\alpha$ ，因而可知组成成分。分解度不仅与反应及T有关，也随反应成分量和总压力p而变。

(5) 进行化学平衡计算时，需确定考虑哪些反应，应当是实际存在的反应，而且该反应的 $K_p$ 值已知。

例如 $C_nH_m + \text{空气}$ 的燃烧平衡，考虑少时已有下列反应：



于是成分有 $H_2O$ 、 $H_2$ 、 $OH$ 、 $H$ 、 $CO_2$ 、 $CO$ 、 $N_2$ 、 $NO$ 、 $N$ 、 $O_2$ 、 $O$ 。全面平衡的计算工作量已经很大。

有人计算 $CH_4 + \text{空气}$ 而 $\alpha=1$ 时燃烧生成物平衡状况，如图1-10所示。

由图1-10可见，在 $2500^\circ K$ 以下，分解很少，但在 $2500^\circ K$ 以上，则分解迅速增多。

假定缸内工质的成分及温度分布均匀(单区模型)，反应按化学平衡计算，无热交换。

## 2. 化学平衡

(1) 实际燃烧温度比前法计算所得低，因为在高温下有化合物分解及分子分解，内燃机中温度尚不足以产生原子电离。

在一定T及一定p或v下，反应达到平衡需要时间(relaxation time)。在T、p迅速变化的情形下，可能来不及平衡，这时需按反应动力学计算各时的成分。在T速降时，有的成分

NO在排气温度下，平衡量不多，但因冷凝而成为排放难题。均匀混合气火焰传播燃烧时不出现C，但强爆震时可出现。

有人计算 $C_6H_6$  + 空气在不同 $\alpha$ 时的燃烧温度。

由图1—11可见，计算温度符合实际。 $\alpha$ 偏出1多时，分解的影响小。 $\alpha \sim 0.9$ 时温度最高，这有利于火焰传播。

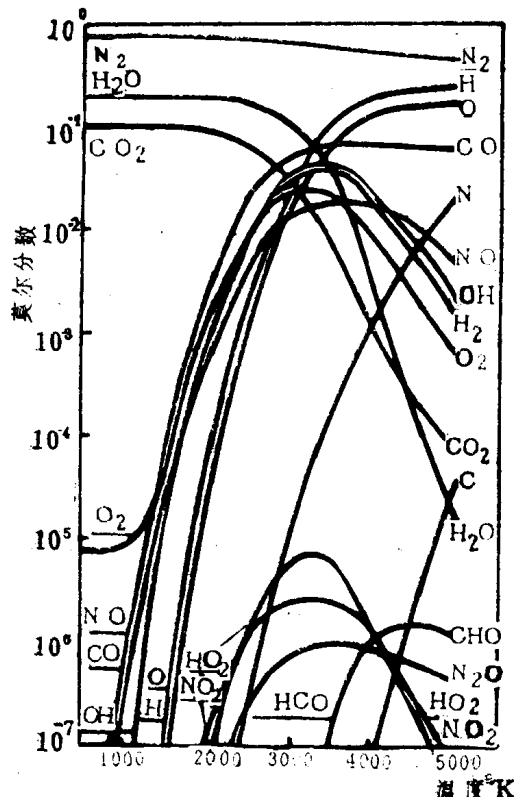


图1-10 平衡计算结果

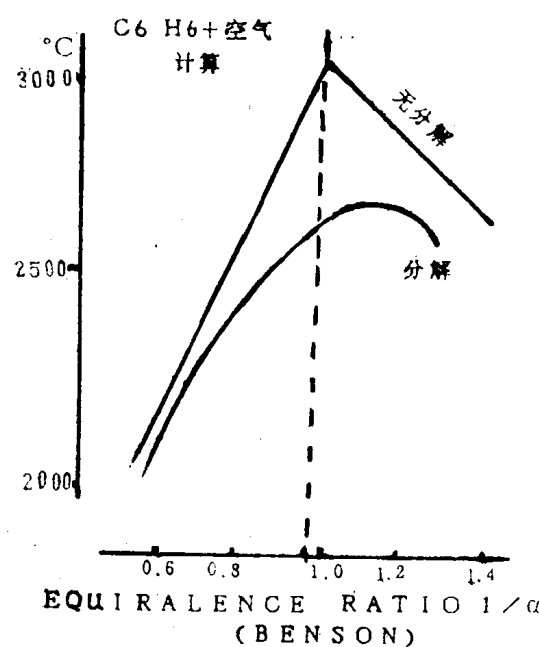
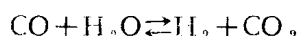
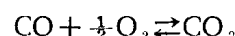


图1-11 不同 $\alpha$ 时的燃烧温度

3. 通用式 为了简便说明, 只考虑两平衡反应:



$$K_{P1} = f_1(T)$$



$$K_{B,s} \equiv f_s(T)$$

### (1) 组成成分

状态1已知：

$$b_1 \text{CO}_2 + b_2 \text{H}_2\text{O} + b_3 \text{O}_2 + b_4 \text{N}_2 + b_5 \text{C}_n\text{H}_m + b_6 \text{CO} + b_7 \text{H}_2,$$

其  $M_1$  kgmol,  $E_1 = E_1(T_1) + E_{1g}$ .

图1-18 一个止步的计算

状态2已知:  $v_2$ , 燃烧  $dM_f$  kgmol。

$$\text{未知: } a_1\text{CO}_2 + a_2\text{H}_2\text{O} + a_3\text{O}_2 + a_4\text{N}_2 + a_5\text{C}_n\text{H}_m + a_6\text{CO} + a_7\text{H}_2, \\ \text{其M}_2 \text{ kg/mol, } E_2 = E_2(T_2) + E_{20}.$$

按原子数或分子数平衡得：

$$C_1: \quad b_1 + b_6 + nb_5 = a_1 + a_6 + na_5$$

$$H: \quad 2b_2 + mb_5 + 2b_7 = 2a_2 + ma_5 + 2a_7$$

$$O_2: \quad \frac{b_2}{2} + b_3 + \frac{b_6}{2} = \frac{a_2}{2} + a_3 + \frac{a_6}{2}$$

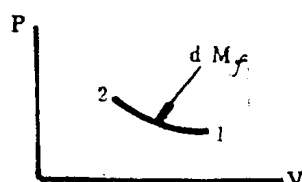


图1-18 一个止步的计算

$$N_2: b_4 = a_4$$

$$C_p H_m: b_5 = a_5 + dM_1$$

$$\text{据化学平衡知: } K_{p_1} = f_1(T_2) = \frac{p_{CO_2} p_{H_2}}{p_{CO} p_{H_2O}} = \frac{a_1 a_7}{a_6 a_2},$$

$$K_{p_2} = f_2(T_2) = \frac{p_{CO_2}}{p_{CO} p_{O_2}} = \frac{a_1}{a_6} \sqrt{\frac{M_2}{a_2 p_2}}.$$

于是有7方程式，而有9未知数 $a_1 \dots a_7$ 、 $T_2$ 、 $p_2$ ，不能解。

### (2) 能量式

$$\begin{aligned} dQ - dW &= E_2 - E_1 \\ &= (a_1 e(T_2)_{CO_2} + a_2 e(T_2)_{H_2O} + a_3 e(T_2)_{O_2} + a_4 e(T_2)_{N_2} + a_5 e(T_2)_{C_n H_m} \\ &\quad + a_6 e(T_2)_{CO} + a_7 e(T_2)_{H_2}) - (a_1 e_0_{CO_2} + a_2 e_0_{H_2O} + a_3 e_0_{O_2} + a_4 e_0_{N_2} \\ &\quad + a_5 e_0_{C_n H_m} + a_6 e_0_{CO} + a_7 e_0_{H_2}) - E_1 \end{aligned}$$

$$\text{其中 } dW = \frac{p_2 + p_1}{2} (V_2 - V_1), \quad dQ = 0.$$

$$(3) \text{ 状态式 } p_2 V_2 = M_2 R_{m+1} T_2.$$

综合上述9式，可同时解得成分及状态。

### 4. 各过程计算

(1) 压缩 不计压缩中微量反应， $C_n H_m$ 按理想气体对待。逐点计算，与柴油机相同。

(2) 燃烧 按化学平衡计算，一步完成。

(3) 膨胀 按化学平衡逐点计算。

### 三、燃料空气循环计算结果

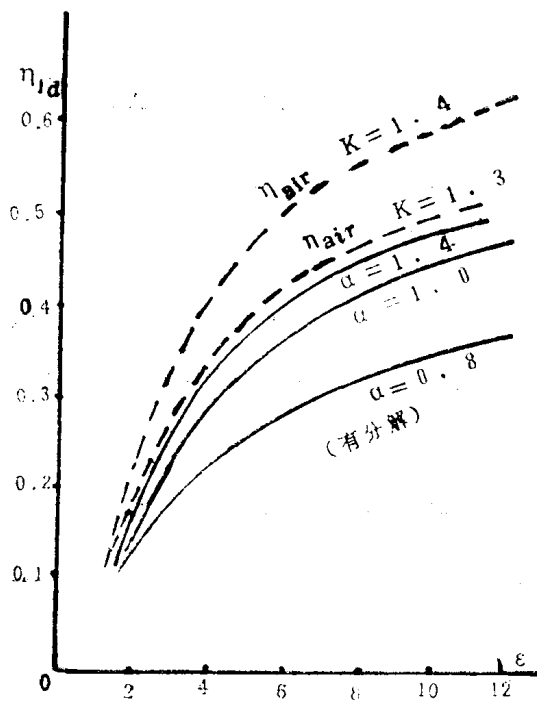


图1-13 等容燃烧的 $\eta_{id}$

1. 随所用热力性质系统不同，所考虑化学反应不同，燃烧假定条件不同，则循环的计算和结果也有所差异。

#### 2. 汽油机

(1)  $\eta_{id}$  与  $\eta_{air}$  随  $\epsilon$  而变化的规律相似，但  $\eta_{id}$  值较低。在  $\epsilon = 8$ 、 $\alpha = 1$  的情形， $\eta_{air} = 0.566$ ， $\eta_{id} = 0.444$ ，比值  $\eta_{id}/\eta_{air} = 78.4\%$ 。空气在  $2500^{\circ}\text{C}$  与  $500^{\circ}\text{C}$  下实际瞬时比热的比值是 81%，平均比热比值是 59%。可知比热变化是  $\eta_{id}$  低于  $\eta_{air}$  的重要原因。此外还有高温分解的影响，如图1-14所示。

(2) 从空气标准循环不可能判断  $\alpha$  对  $\eta$  的影响，从燃料空气循环可知， $\alpha$  大则  $\eta_{id}$  高。

3. 柴油机 循环最高压力对  $\eta_{id}$  有明显影响。见图1-15。

### 四、与实际对比

1. 1980年发表车用产品发动机的情况如

图1—16。

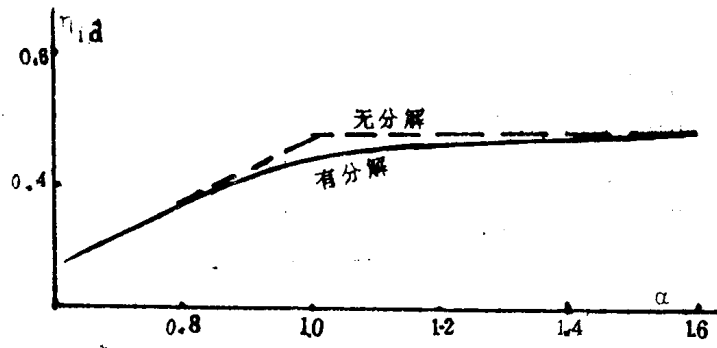


图1-14 分解的影响

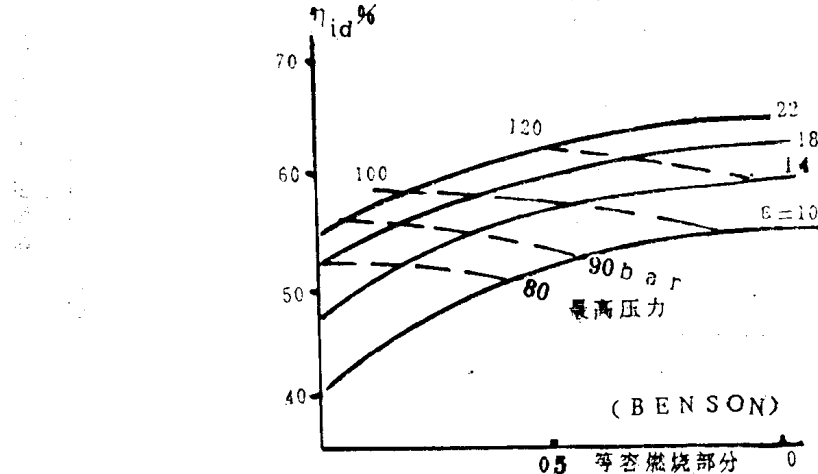


图1-15 最高压力的影响

## 2. 举例分析

$\eta = 1$	$g_e = 63.2 \text{ g/psh}$	
Carnot(300-2500°K)	0.88	71.8
otto, $\varepsilon = 8$ 时		
$\eta_{air}$	0.565	112
$\eta_{id}(\alpha = 1.1)$	0.435	145
$\eta_i(\eta_{re1} = 0.85)$	0.37	171
$\eta_e(\eta_M = 0.80)$	0.296	214
		26
		33

(1) 循环的潜力最大,  $\varepsilon$  的影响也明显, 例如在  $\alpha = 1.2$  时

$$\begin{array}{ccc} \varepsilon = 8 & \eta_{id} = 0.445 & \\ 10 & 0.476 & \nearrow 13\% \\ 12 & 0.503 & \end{array}$$

(2) 汽车发动机所用工质, 难以不用空气, 但  $\alpha$  有影响。在  $\alpha < 1$  时, 因过浓而  $\eta$  下降

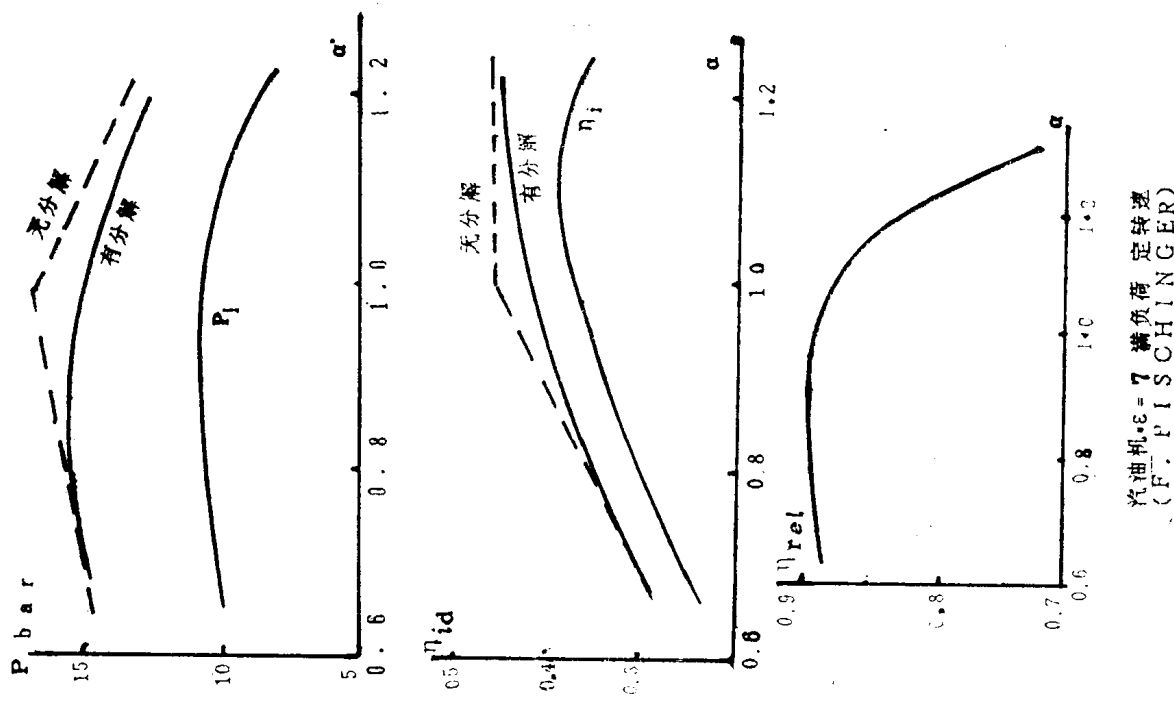


图1-16(1) 汽油机不同 $\alpha$ 下的 $\eta$

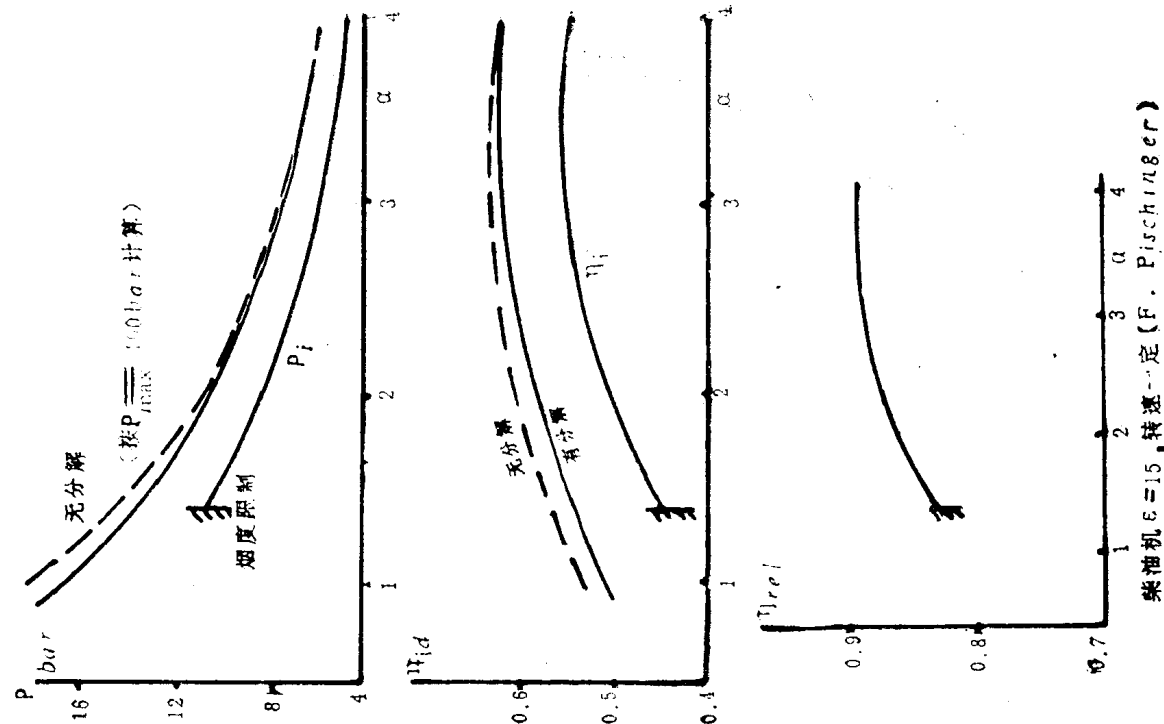


图1-16(2) 柴油机不同 $\alpha$ 下的 $\eta$

很多。在 $\alpha > 1$ 时，于均匀混合气起火界限以内，对 $\eta$ 影响不大。例如在 $\varepsilon = 10$ 时

$\alpha = 0.8$	$\eta_{i,d} = 0.365$	20%
1.0	0.457	
1.2	0.476	2.9%
1.4	0.49	

(3)  $\eta_{r,i}$  代表  $\eta_i$  与  $\eta_{i,d}$  的差别，原因如下。

(a) 燃烧过程中，缸内工质成分及温度并非分布均匀。在火花点火或柴油喷射的情况下，这都不可避免，均匀反应的设想尚难实现。

(b) 燃烧不完全。汽油机在  $\alpha > 1$  情况下，柴油机在烟度容许情况下，燃烧效率皆可  $> 99\%$ 。

(c) 冷却损失。到冷却系的热量多，但在燃烧及膨胀过程中的传热量只占一部分，而其中可转变为有效功的又只占小部分。

(d) 等容度(放热规律)。影响明显。

(4) 机械损失有潜力，对汽车发动机尤其重要。

## 第四节 循环模拟

### 一、缸内过程模拟

1. 燃料空气循环的计算已如上述，计算中对燃烧过程的假定前提是：

(1)  $dM_t$  (放热规律) 已知，而且是人为规定。

(2) 化学反应在柴油机是只生成  $\text{CO}_2$  及  $\text{H}_2\text{O}$ ，在汽油机是按化学平衡计算。

(3) 缸内工质的成分和温度总是分布均匀(单区模型)。

同时对传热的假定是：

(4)  $dQ = 0$ 。

2. 在实际发动机中：

(1)  $dM_t$  决定于许多因素。例如在汽油机有汽油的蒸发分配、缸内空气运动、火花点火后的化学反应速率及起火、燃烧室空间分布及火焰传播速等。在柴油机则牵涉到喷油规律、油注的雾化及发展、空气运动、传热传质混合、化学反应速率和发火延迟、预混燃烧及渗透燃烧等。

(2) 不论是汽油机还是柴油机，燃烧局部的温度都高，必有分解。而且  $N$  有关的反应速度较慢，在状态迅速变化的情况下，需按反应动力学计算。

(3) 不论是汽油机还是柴油机，燃烧都是逐步扩展的，缸内工质的成分和温度极不均匀。

(4) 缸内工质不匀，各处壁面层的状况不同，传热系数难定，辐射传热更难确定。幸而  $dQ$  的变化对  $\eta$  影响较小，可以利用宏观的经验资料，但要解决局部热流及热应力，则难以计算准确。

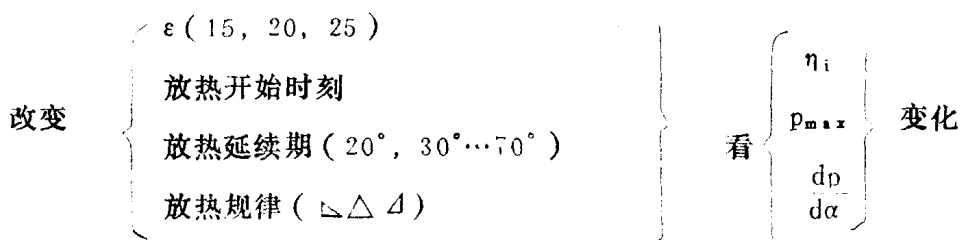
3. 上述诸环节都已有很多研究，都有模拟程序，种类很多而繁简不同。也有综合而成的各种缸内过程模拟程序，可针对机型结合经验资料而用于实际设计，甚至也有了预测爆

震的程序。但是这些程序还不到可以普遍适用的成熟程度。细致的大型程序应用复杂，尚难在设计工作中应用。

## 二、缸内过程模拟应用例

由燃料空气循环可得到比空气标准循环更深入的理解，与此类似，即使是简略的循环模拟计算，也可用以得出更有价值的判断。在计算机应用初期的1960年，林慰梓所发表的一项工作，可作为这种例子。

1. 目的 了解直喷式柴油机燃烧过程参数对性能的影响。
2. 算法 针对目的简化条件：用单区模型，定 $\alpha$ ，燃烧放热逐点计算，不计热分解，传热量按放热量简单比例计算。



3. 结果中有下列判断：

(1) 放热早则  $p_{\max}$ 、 $\frac{dp}{d\alpha}$  高。放热规律图重心在上死点时， $\eta_i$  最高。

(2) 放热延续期为  $40^\circ$ ；放热时刻在  $\eta_i$  最大时，改变放热规律形状的计算结果：

	$p_{\max}$ lb/in <sup>2</sup>	$\frac{dp}{d\alpha}_{\max}$ lb/in <sup>2</sup>	$\eta_i$
$\epsilon = 15$	20 25	15 20 25	15 20 25
△	1100 1500 2100	73 108 143	.511 .546 .576
△	1050 1550 2070	39 74 90	.506 .540 .566
△	1050 1400 1700	37 56 —	.495 .522 .547

由此可知， $\epsilon$  对  $\eta_i$  有明显影响，但对  $p_{\max}$  及  $\frac{dp}{d\alpha}$  影响更大得多。放热规律形状对  $\eta_i$  影响小，只是形状初期对  $\frac{dp}{d\alpha}$  影响大。

(3)  $\epsilon = 15$ ，上死点开始放热，放热规律△，改变放热延续期的计算结果：

延续期	$p_{\max}$ lb/in <sup>2</sup>	$\frac{dp}{d\alpha}_{\max}$ lb/in <sup>2</sup>	$\eta_i$
$30^\circ$	980	75	.514
$40^\circ$	860	58	.494
$50^\circ$	790	47	.476
$60^\circ$	730	40	.455
$70^\circ$	700	33	.439

由此可知，放热延续期短则  $\eta_i$  高（若放热在最有利时刻，则  $\eta_i$  变化较小），但到  $40^\circ$  以下  $p_{\max}$  及  $\frac{dp}{d\alpha}$  急增。